

ОБ ОСНОВНЫХ УРАВНЕНИЯХ ФИЛЬТРАЦИИ В СЖИМАЕМЫХ ПОРИСТЫХ СРЕДАХ

Бан Акош, К. С. Басниев, В. Н. Николаевский

(*Будапешт, Краснодар, Москва*)

Изотермическое движение однородной жидкости в сжимаемых пористых средах описывается следующей системой уравнений:

$$\frac{\partial m \rho}{\partial t} + \frac{\partial \rho u_i}{\partial x_i} = 0, \quad u_i = -\frac{k_{ij}}{\mu} \frac{\partial p}{\partial x_i}, \quad \rho = \rho(p) \quad (1)$$

Здесь p — давление в жидкости, u_i — скорость фильтрации, ρ — плотность жидкости, μ — ее вязкость, m — пористость, k_{ij} — проницаемость среды. Если пористая среда сжимаема и находится под действием внешней нагрузки, то $m = m(p, s_{kl})$, $k_{ij} = k_{ij}(p, s_{kl})$, где s_{kl} — компоненты тензора истинных напряжений в скелете среды. Учет этих зависимостей оказывается весьма существенным при изучении фильтрации жидкости при значительных перепадах давлений в средах, находящихся под нагрузкой.

В каждой точке пористой среды суммарное напряжение состояния T_{ij} , возникающее под действием внешней нагрузки, воспринимается частично скелетом среды, частично жидкостью

$$T_{ij} = p \delta_{ij} + s_{ij}^f, \quad s_{ij}^f = (1 - m) s_{ij} - (1 - m) p \delta_{ij} \quad (2)$$

Здесь s_{ij}^f — тензор фиктивных напряжений в скелете среды [1], δ_{ij} — единичный тензор. Суммарные напряжения в трещиноватых пористых средах распределяются между жидкостью в трещинах, жидкостью в порах и скелетом среды. Считается [2, 3], что такие среды состоят из двух вложенных одна в другую однородных пористых сред, между которыми происходит обмен жидкостью. В первой среде роль зерен скелета играют блоки, а роль пор — трещины. Суммарные напряжения воспринимаются первой средой

$$S_{ij} (1 - M) + M P \delta_{ij} = T_{ij}, \quad S_{ij} = P \delta_{ij} + S_{ij}^f / (1 - M) \quad (3)$$

где большими буквами обозначены параметры первой среды, в частности M — пористость первой среды, определенная как отношение объема трещин ко всему объему трещиноватой породы.

Величина S_{ij} играет роль суммарного напряжения для второй среды, сложенной из той же породы, что и блоки, т. е.

$$S_{ij} = s_{ij}^f + p \delta_{ij} = S_{ij}^f / (1 - M) + P \delta_{ij} \quad (4)$$

При отборе жидкости из среды первоначальное давление p_1 понижается до величины p . Если внешняя нагрузка T_{ij} — величина постоянная во времени и по пространству среды, то при этом происходит увеличение части нагрузки, воспринимаемой скелетом среды, на величину

$$\Delta s_{kl}^f = -(p - p_1)$$

Будем рассматривать здесь упругие деформации пористой среды, при которых изменения параметров m и k_{ij} можно определить так:

$$m(p) - m(p_1) = m(p_1) [a(p - p_1) + b_{kl} \Delta s_{kl}^f] \quad (5)$$

$$k_{ij}(p) - k_{ij}(p_1) = \frac{1}{3} N(p_1) [c_{ij}(p - p_1) + d_{ijkl} \Delta s_{kl}^f] \quad (6)$$

Здесь $N(p_1)$ — значение первого инварианта тензора k_{ij} при $p = p_1$. Первые члены в правой части выражений (5) и (6) учитывают эффект сжатия зерен скелета среды, а вторые — эффект их взаимного смещения, причем последние обычно значительно больше первых. Параметры упругих связей среды $a, b_{kl}, c_{ij}, d_{ijkl}$ — постоянные для рассматриваемых (до 100 атм) перепадов давлений.

Линейная зависимость пористости от напряжений в среде изучалась и использовалась при построении теорий упругого [4] иупруго-пластического [1] режимов фильтрации. Возможность представления зависимости проницаемости от напряжений s_{ij}^f согласно выражению (6) подтверждается рядом экспериментов [5, 6]. На фиг. 1 приведены типичные графики [6] зависимостей проницаемости k от компоненты фиктивного напряжения по оси, ортогональной направлению фильтрации. Здесь k° — значение k в миллидарси при $s^f = 0$, p° — среднее давление в образце (в атм), при котором измерялась k . Кривой 1 соответствуют значения $k^\circ = 102$, $p^\circ = 140$; кривой 2 — $k^\circ = 37$, $p^\circ = 1.4$; кривой 3 — $k^\circ = 0.23$, $p^\circ = 16.8$. Заметим, что нахождение параметров упругих связей путем рассмотрения истинного напряжения состояния скелета среды из-за сложностей внутренней структуры пористых сред также практически невыполнимо, как, например, вычисление коэффициента проницаемости в законе Дарси (1) путем интегрирования уравнений Навье — Стокса.

Уравнение состояния $\rho = \rho(p)$ в случае капельной жидкости обычно берется в линейном виде

$$\rho(p) - \rho(p_1) = (p - p_1) \rho(p_1) / F \quad (7)$$

Здесь F — модуль сжимаемости фильтрующейся жидкости. При фильтрации реальных газов, уравнение состояния записывается

$$\rho = p / (zRT) \quad (8)$$

где R — универсальная газовая постоянная, T — абсолютная температура, z — коэффициент сжимаемости. В некоторых работах [7] отмечалась необходимость учета зависимостей $z = z(p)$, а также $\mu = \mu(p)$. Имеющиеся экспериментальные данные [8, 9] позволяют считать, что при рассматриваемых перепадах давлений и при температурах (более 0° С) эти зависимости также весьма близки к линейным

$$z(p) - z(p_1) = (dz/dp)_{p_1}(p - p_1) \quad (9)$$

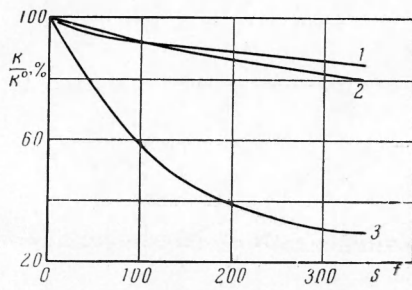
$$\mu(p) - \mu(p_1) = (d\mu/dp)_{p_1}(p - p_1) \quad (10)$$

Зависимость (10) имеет место и для капельных жидкостей [8-10].

Если воспользоваться выписанными здесь линейными соотношениями, а также равенствами

$$\partial p / \partial t = -\partial s_{kl}^f / \partial t, \quad \partial p / \partial x_i = -\partial s_{kl}^f / \partial x_i \quad (11)$$

то из уравнений (1) можно получить искомое уравнение фильтрации. Однако для большей наглядности выпишем уравнение, справедливое для задач плоской фильтрации в пористом пласте, к кровле и подошве которого приложена равнораспределенная постоянная во времени нагрузка. В этом случае тензора T_{ij} и s_{ij}^f будут осесимметрично-изотропными тензорами, осью симметрии которых служит нормаль к плоскости пласта. Если эта



Фиг. 1

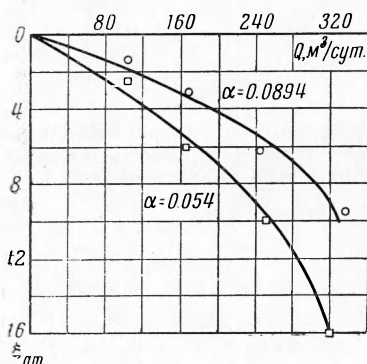
нагрузка была приложена к пласту длительное время, то естественно считать, что проницаемость среды $k_{ij}(p)$, а также параметры упругих связей b_{kl} , c_{ij} , d_{ijkl} будут также осесимметрично-изотропными тензорами.

Однако в плоскости пласта эти характеристики обладают свойствами изотропии. Поэтому в выписанных ниже уравнениях, описывающих плоские, осредненные по мощности пласта h фильтрационные потоки, $k(p) = k_i(p)$, где индекс i означает номера осей в плоскости пласта.

В случае капельной жидкости система (1) сводится к уравнению

$$\rho(p_1)[\Lambda_1 + \Lambda_2(p-p_1)]\frac{\partial p}{\partial t} = \frac{k(p_1)\rho(p_1)}{\mu(p_1)}\frac{\partial}{\partial x_i}[1+\alpha(p-p_1)]\frac{\partial p}{\partial x_i} \quad (12)$$

где постоянные коэффициенты Λ_1 , Λ_2 и α весьма просто выражаются через константы исходных линейных соотношений (3)–(5) и (8)



Фиг. 2

Численные оценки показали, что $\Lambda_1 \approx 2 \cdot 10^{-4} \text{ атм}^{-1}$, $\Lambda_2 \approx 2 \cdot 10^{-8} \text{ атм}^{-2}$. Так как рассматриваются такие фильтрационные потоки, в которых максимальное значение разности $(p - p_1)$ имеет порядок около сотни атмосфер, то величиной $\Lambda_2(p - p_1)$ можно по сравнению с Λ_1 пренебречь. В то же время, судя по экспериментальным данным, $\alpha = (1 \cdot 10^3 \div 3 \cdot 10^{-4}) \text{ атм}^{-1}$, а потому величина $\alpha(p - p_1)$ может достигать значений до 0.1, а иногда и больших.

В силу этого будем считать, что процесс фильтрации в сжимаемых пористых средах описывается следующим нелинейным параболическим уравнением:

$$\frac{\partial p}{\partial t} = \kappa \frac{\partial}{\partial x_i} \left\{ [1 + \alpha(p - p_1)] \frac{\partial p}{\partial x_i} \right\} \quad (14)$$

где κ — обычный коэффициент пьезопроводности [4].

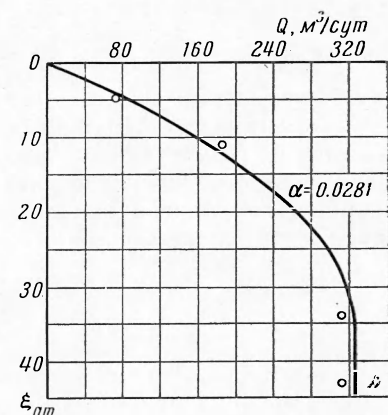
Легко показать, что в этом случае фундаментальная формула для стационарного притока в скважину — формула Дюпон — приобретает вид

$$Q = \frac{2\pi k(p_1)h}{\mu(p_1)} \frac{\zeta(1 - 0.5\alpha\zeta)}{\ln(r_1/r_0)} \quad (15)$$

Здесь $\zeta = p_1 - p_0$, p_0 — давление на забое скважин (при $r = r_0$), p_1 — пластовое давление (при $r = r_1$), h — мощность пласта. Аналогичным образом выписывается уравнение фильтрации реальных газов в сжимаемых пластах

$$(1 - Bp) \frac{\partial p}{\partial t} = A \frac{\partial}{\partial x_i} \left\{ [1 + C(p - p_1)] p \frac{\partial p}{\partial x_i} \right\} \quad (16)$$

$$A = \frac{k(p_1)}{\mu(p_1)m(p_1)}, \quad B = \left(\frac{1}{z} \frac{dz}{dp} - \frac{1}{m} \frac{dm}{dp} \right)_{p_1}, \quad C = \left(\frac{1}{k} \frac{dk}{dp} - \frac{1}{\mu} \frac{d\mu}{dp} - \frac{1}{z} \frac{dz}{dp} \right)_{p_1}$$



Фиг. 3

Для стационарного притока газа к скважине легко получить выражение объемного расхода газа, приведенного к забойным условиям:

$$\bar{Q}_0 = \frac{\pi k(p_1) hz(p_0)}{\mu(p_1) p_0 z(p_1)} \frac{p_1^2 - p_0^2}{ln(r_1/r_0)} \left(1 + \frac{2C}{3} \frac{p_0^2}{p_0 + p_1} - \frac{C}{3} p_1 \right) \quad (17)$$

Фильтрация капельной жидкости в трещиноватых пластах описывается следующей системой уравнений

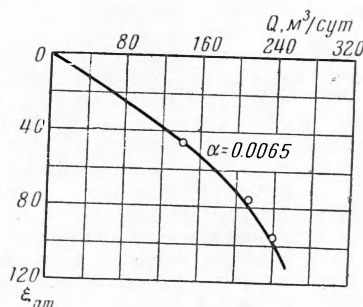
$$\frac{\partial M\rho}{\partial t} + \frac{\partial}{\partial x_i} \left(\frac{K\rho}{\mu} \frac{\partial P}{\partial x_i} \right) - q = 0, \quad \frac{\partial m\rho}{\partial t} + \frac{\partial}{\partial x_i} \left(\frac{k\rho}{\mu} \frac{\partial p}{\partial x_i} \right) + q = 0 \quad (18)$$

Величина $q = \rho\xi(p - P)\mu^{-1}$ учитывает обмен жидкостью между средами, ξ — некоторая новая характеристика трещиноватой породы [2,3]. Воспользовавшись соотношениями (3), (4), (5)–(7), можно выписать уравнения (18) в более развернутом виде. Однако из-за громоздкости получающихся выражений ограничимся случаем, когда $M \ll m$ и $K \gg k$. При этом уравнения (18) сводятся к следующему уравнению:

$$\frac{\partial P}{\partial t} - \frac{\partial}{\partial t} \left[\frac{K(P)}{\alpha} \right] \frac{\partial}{\partial x_i} [1 + \alpha(P - P_1)] \frac{\partial P}{\partial x_i} = \nu \frac{\partial}{\partial x_i} [1 + \alpha(P - P_1)] \frac{\partial P}{\partial x_i} \quad (19)$$

здесь в параметры χ и α входят проницаемость системы трещин K и пористость системы блоков m . Уравнение (19) при $\alpha = 0$ переходит в уравнение, используемое работах [2,3]. В случае стационарных течений из-за пренебрежения проницаемостью блоков уравнение (19) аналогично уравнению стационарной фильтрации в обычных средах (14); приток жидкости к скважине в трещиноватом пласте также определяется формулой (15).

Наконец, если учитывать частично необратимый характер деформаций, предполагая зависимость компонент тензоров b_{kl} и d_{ijkl} от направления изменения нагрузки в точке пласта, то нетрудно обобщить полученные здесь уравнения на случай упруго-пластического режима фильтрации [1].



Фиг. 4

ЛИТЕРАТУРА

- Баренблат Г. И., Крылов А. П. Об упруго-пластическом режиме фильтрации. Изв. АН СССР, ОТН, 1955, № 2.
 - Баренблат Г. И., Желтов Ю. П. Об основных уравнениях фильтрации однородных жидкостей в трещиноватых породах. ДАН СССР, 1960, т. 132, № 3.
 - Баренблат Г. И., Желтов Ю. П., Коциина И. Н. Об основных представлениях теории фильтрации однородных жидкостей в трещиноватых породах. ПММ, 1960, т. XXIV, вып. 5.
 - Щелкачев В. Н. Основные уравнения движения упругой жидкости в упругой пористой среде. ДАН СССР, 1946, т. 52, № 2.
 - Fatt I., Davies D. H. Reduction in permeability with overburden pressure. Trans. AIMME, 1956, v. 195.
 - McLatchie A. S., Hemstock R. A. The effective compressibility of reservoir rock and its effects on permeability. J. Petrol. Technology, June, 1958.
 - Щелкачев В., Лапук Б. Подземная гидравлика. Гостоптехиздат, 1949.
 - Котяков Ф. И. Основы физики нефтяного пласта. Пер. с англ. Гостоптехиздат, 1956.
 - Берчик Э. Дж. Свойства пластовых жидкостей. Гостоптехиздат, 1960.
 - Сергеевич В. И., Жузет Т. П., Честнов А. И. Влияние давления и температуры на вязкость водных растворов электролитов и пластовых вод. Изв. АН СССР, ОТН, 1953, № 6.